

## بررسی عددی جریان لایه برشی فرا صوتی در حفره دیواره

علی میرمحمدی<sup>۱\*</sup> و سعید رostaیی<sup>۲</sup>

۱- استادیار، مهندسی مکانیک، دانشگاه تربیت دبیر شهید رجایی، تهران، a.mirmohammadi@sru.ac.ir

۲- کارشناسی ارشد، مهندسی مکانیک، دانشگاه تربیت دبیر شهید رجایی، تهران، rostaiy.saeed@gmail.com

\* نویسنده مخاطب

(تاریخ دریافت: ۹۶/۶/۲۶، دریافت آخرین اصلاحات: ۹۶/۹/۲۷، پذیرش: ۹۶/۱۲/۲۱)

چکیده: رم جت فراصوت و یا اسکرم جت نوع پیشرفته تر موتورهای صنعت هوا فضاست. انجام احتراق این نوع موتورها در سرعت فرا صوت باعث می شود که اسکرم جت بتواند به سرعت هایی بالاتر از سرعت رم جت های متداول برسد. احتراق در سرعت های فراصوت نیاز به پایداری دارد. چون حفره ها در پایداری احتراق جریان های واکنشی فراصوتی در اسکرم جت ها اهمیت زیادی دارند، در این مقاله، با شبیه سازی جریان لایه برشی حفره با استفاده از مدل های مختلف اغتشاشی، اثر عوامل مختلف در این نوع جریان ها بررسی شد. ابتدا، با کمک مدل سازی جریان با مدل های مختلف اغتشاشی بهترین مدل، از نظر دقت و سرعت حل، برای شبیه سازی جریان های لایه برشی حفره معرفی شد. سپس، به کمک مدل انتخاب شده، حل هایی برای زوایای مختلف دیوار حفره انجام شد و نتایج با هم مقایسه شد. نتایج نشان داد که مدل اغتشاشی SST-k-ω، از نظر دقت و سرعت، بهترین مدل برای حل مسائل مربوط به لایه برشی حفره است. همچنین، در این تحقیق، زوایای مختلف در نظر گرفته شده برای دیوار عمودی پشت نشان داد که دما در حفره ها با زاویه تند به شدت افزایش می یابد. بنابراین، دما عامل مهمی در تعیین زاویه خواهد بود و ممکن است محدودیت نقطه ذوب مواد به کار رفته انتخاب زاویه را تحت تاثیر قرار دهد.

کلید واژگان: رم جت، اسکرم جت ، پایداری احتراق، مدل SST-k-ω، لایه برشی حفره

### مقدمه

### تعریف مسئله

انتخاب موتور مناسب برای ایجاد نیروی رانش یکی از مسائل مهم در صنعت هوا فضاست. یک نوع از این موتورها، رم جت است که هیچ قطعه متحرکی ندارد. در واقع یک رم جت لوله ای تنگ شده است که هوا در آن ابتدا متراکم شده و سپس با ماده سوختی ترکیب می شود و در نهایت احتراق روی می دهد. گازهای حاصل از احتراق با سرعتی بالاتر از سرعت هوای ورودی از موتور خارج می شوند و نیروی مورد نیاز برای حرکت رو به جلو را تولید می کنند. شکل ۱ طرحواره کلی یک رم جت را نشان می دهد. رم جت ها دارای کمترین قطعات جدا شونده بوده و یا اصلًا قطعه جدا شونده ای ندارند، که این مزیت عمله این نوع موتور نسبت به توربوفن ها و توربوجت ها است. چون در توربوفن ها و توربوجت ها قطعات متحرک معیوب شده و موجب بروز نقص در موتور می شوند.

نوع پیشرفته تر این نوع موتورها، که عمل احتراق آن در سرعت فراصوت انجام می پذیرد، رم جت فراصوت و یا اسکرم جت<sup>۱</sup> نامیده می شود. انجام احتراق این موتور در سرعت فراصوت باعث می شود که اسکرم جت بتواند به سرعت هایی بالاتر از رم جت های متداول برسد. طرحواره کلی از موتور اسکرم جت در شکل ۲ آمده است.

1. Scram jet

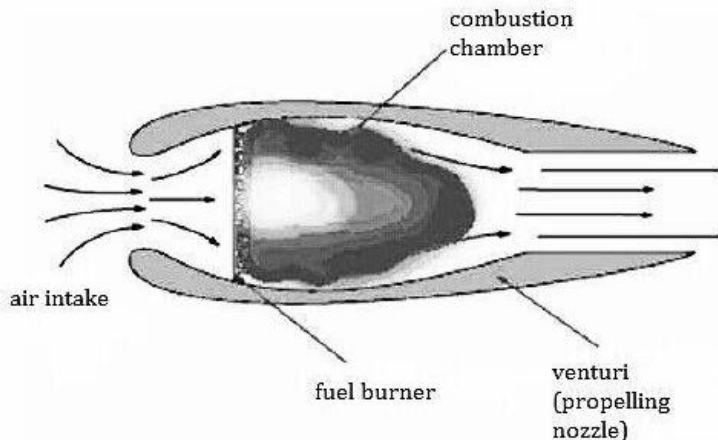


Figure 1- The general schema of a ram jet

شکل ۱- طرحواره کلی یک رم جت

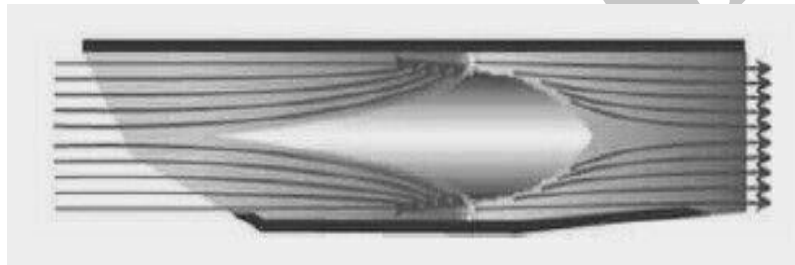


Figure 2- The general schema of a scram jet

شکل ۲- طرحواره کلی یک اسکرم جت

نام موتور اسکرم جت از واژه احتراق در سرعت مافوق صوت<sup>۱</sup> گرفته شده است. این نوع موتور در سرعت‌های فراصوت به کار می‌رود و طرز کار آن بسیار شبیه موتور رم جت است. این نکته قابل توجه است که شعله‌ورسانختن سوخت در معرض مولکول های هوا، در حالی که هوا با سرعت بالای ماخ وارد موتور می‌شود، مانند روشن کردن کبریت در گردباد است که با توجه به این موضوع می‌توان درک کرد که چه تکنولوژی عظیمی در این لوله به کار گماشته شده است.

در مجموع، فناوری فراصوت در صدد دستیابی به روش‌هایی از توانایی‌های بالقوه و بالفعل این گونه موتورهای است. زیرا، با برقراری جریان فراصوت به جای جریان فروصوت، مقدار کمتری از آنتالیی کل ازدست می‌رود، بنابراین کارایی اسکرم جت در مقابل رم جت افزایش می‌یابد. درواقع، طراحی اسکرم جت برای کاهش هرچه بیشتر نیروی پسا<sup>۲</sup> و افزایش نیروی برآ<sup>۳</sup> است. هزینه‌های بالای آزمایش پرواز و عدم وجود امکانات و تجهیزات مناسب زمینی از توسعه اسکرم جت‌ها تا حد زیادی جلوگیری کرده است. افزون بر این، به خاطر اهمیت این فناوری بسیاری از آزمایش‌ها و نتایج آن‌ها در این زمینه محروم‌مانه باقی مانده‌اند. از آنجایی که این اطلاعات به طور علنی منتشر نشده و هرگز مورد تایید قرار نگرفته‌اند، بنابراین تاکنون هیچ طراحی نهایی در مورد موتورهای اسکرم جت در دسترس نیست.

1. supersonic combustion ramjet

2. Drag

3. Lift

شکل ۲ نشان می‌دهد که درست بعد از مجرای ورودی، سوخت تزریق و برای احتراق مخلوط می‌شود. شعله حاصل، توسط حلقه‌های نگهدارنده شعله، پایدار می‌شوند. این قسمت بسیار شبیه به قسمت نگهدارنده شعله پس‌سوز موتور هواپیمای جنگنده است. طرحواره این حفره‌ها در شکل ۳ آورده شده است. این حفره‌ها برای پایداری شعله ایجادشده طراحی شده‌اند که با ایجاد جریان چرخشی درون حفره در نزدیکی محل پاشش سوخت باعث احتراق پیوسته درون موتورهای اسکرمجت می‌شوند. این حلقه‌ها بیشترین کاربرد را برای شعله‌ورسازی احتراق اسکرمجت‌ها به دلیل سرعت بالای جریان ورودی دارند و اثربخشی چشمگیری در پایداری شعله بدون کاهش بیش از حد فشار کلی دارند. وقتی که از تزریق یکپارچه سوخت با رویکرد شعله‌ورشدن استفاده می‌شود، وجود این حفره‌ها الزامی است.

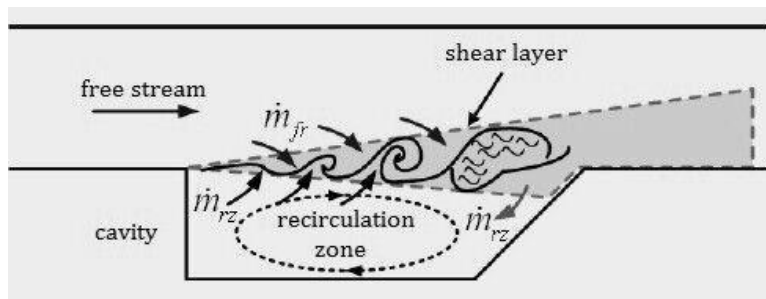


Figure 3- A schematic of how to absorb the shear layer by the cavity

شکل ۳- طرحواره‌ای از نحوه جذب لایه برشی توسط حفره

بخشی از جریان آزاد با عبور از روی حفره به درون آن نفوذ می‌کند و جریان چرخشی، مطابق آنچه در شکل آمده است، ایجاد می‌شود. جریان چرخشی باعث ایجاد یک لایه برشی بالای حفره می‌شود که به طور همزمان سیال حاصل از جریان آزاد و ناحیه چرخشی را برای رشد جذب می‌کند. بنابراین، جریان‌های داخل و بیرون حفره به وسیله لایه برشی از یکدیگر جدا می‌شوند و مقدار تبادل حرارت و جرم سیالات حفره به ویژگی‌های جذب لایه برشی ایجادشده وابسته است. بدین ترتیب تا حدی نفوذ و ترکیب جریان آزاد و جریان درون حفره باعث پایداری احتراق این نوع موتورها می‌شود، به طوری که بدون وجود این حفره‌ها پاشش یکپارچه سوخت غیرممکن است.

نرخ جذب لایه برشی حفره، که همان اثرات قوی احتراق پایدار حفره است، هنوز از نظر سیستماتیک مطالعه نشده است. از آنجا که جریان آزاد نسبتاً سرد است و جریان چرخشی اساساً شامل محصولات گرم و رادیکال‌ها در اثر فرایند احتراق است، نسبت جذب به طور مستقیم خواص مخلوط لایه برشی را، که اثرات قابل توجهی روی توسعه شعله دارند، تحت تاثیر قرار می‌دهد. در این مطالعه، شبیه‌سازی عددی برای بررسی ویژگی‌های جذب لایه برشی حفره در جریان‌های فراصوت انجام می‌شود و سعی بر آن است که پایه‌ای برای مشخصه‌های سازوکار<sup>۱</sup> شعله‌ورشدن حفره‌ها باشد، که در اسکرمجت کاربرد فراوان دارد.

### پیشینه تحقیق

وانگ و همکاران تحقیقی در مورد ویژگی‌های جذب لایه‌های برشی حفره در جریان‌های با اعدد ماخ متفاوت انجام داده‌اند. ایشان تمام محاسبات عددی را توسط مدل اغتشاشی گردابه‌های بزرگ انجام داده‌اند [۱]. نتایج تحقیق آن‌ها نشان می‌دهد که پایداری و نرخ رشد لایه‌های برشی حفره وابستگی زیادی به اثرات تراکم‌پذیری دارد. همچنین، تحقیق ایشان نشان داده است نرخ رشد لایه برشی حفره، با افزایش عدد ماخ، به سرعت، کاهش می‌یابد.

1. Mechanism

دیموتاکیس مطالعاتی در مورد نرخ رشد و نرخ جذب برای حفره‌ها انجام داده است که پایه آن بر روی خصوصیات هندسی سازه‌هایی با مقیاس بزرگ است [۲]. نتایج تحقیق ایشان نشان می‌دهد در حفره‌های لایه برشی جذب نامتقارن وجود دارد که سرعت آن از جریان آزاد سیال بیشتر است. این جذب نامتقارن اغلب در شبیه‌سازی‌های عددی رینولدز مشاهده شده است [۳]. نتیجه‌گیری مهم ایشان این است که کاهش نرخ رشد لایه برشی با افزایش فشردگی آن رابطه دارد که این فشردگی تابعی از عدد ماخ است؛ یعنی رشد لایه برشی حفره با عدد ماخ رابطه دارد.

داس اثر پهنه‌ای حفره روی نوسانات لایه برشی را بررسی کرد و دریافت که یک تغییر حالت آکوستیک غالباً به عنوان نسبت طول به عرض حاصل شده است؛ با توجه به رشد لایه برشی حفره، اثرات فشرده‌سازی مشاهده شده در لایه‌های برشی آزاد در لایه‌های برشی حفره نیز وجود دارد و کاهش نرخ رشد لایه برشی با افزایش عدد ماخ مناسب است [۱]. رولوی شبیه‌سازی عددی مستقیم دوبعدی برای مطالعه جریان‌های فروصوتی بالای حفره‌های مربعی انجام داد [۴]. نتایج آن یک گذار از ناپایداری لایه برشی هلمهولتز را نشان می‌دهد، که این شبیه‌سازی در درجه اول برای حفره‌های کوتاه‌تر و عدد ماخ پایین‌تر است. همچنین، ناپایداری مطلق برای حفره‌های بزرگ و اعداد ماخ بالاست.

بریش و همکاران مطالعاتی برای اندازه‌گیری سرعت جریان هوا روی یک حفره مستطیلی انجام دادند [۵]. نتایج ایشان نشان داد که لایه برشی متلاطم در مرز حفره و منطقه تجدید در داخل آن قرار دارد. ایشان میانگین موقعیت ناحیه کم‌فشار را به عنوان یک تابع از نسبت طول به عرض حفره معرفی کردند.

کیم و همکاران تحقیقات عددی در مورد پایداری احتراق، هنگامی که از یک حفره برای تزریق سوخت هیدروژن از طریق جریان لایه برشی استفاده می‌شود، انجام دادند [۶]. در تحقیق ایشان، حفره مورد توجه است. زیرا، جریان احیا در حفره شعله را پایدار نگه می‌دارد، در حالی که افزایش سرعت اختلاط، احتراق را بهبود می‌دهد. زیرا، جریان احیاکننده در حفره شعله را پایدار نگه می‌دارد، در حالی که افزایش سرعت اختلاط، احتراق را بهبود می‌دهد. همچنین، ایشان چندین حفره شبیه‌دار با زاویه دیوار پشتی مختلف را مورد ارزیابی قرار دادند. مطالعات ایشان نشان داد که نسبت مناسب انحراف به طول حفره، بازده احتراق و فشار کل را تحت تاثیر قرار می‌دهد.

## دلایل تحقیق جدید

روش گردابه‌های بزرگ<sup>۱</sup>، که توسط وانگ انتخاب شده بود، اساساً برای مدل‌های سه‌بعدی طراحی شده است. همچنین، حل‌های طولانی و زمان‌بری نسبت به مدل‌های RANS دارد. با توجه به اینکه هندسه حفره‌ها ذاتاً دوبعدی است، برای یافتن مدل بهینه، مسئله با چند مدل مختلف حل می‌شود و بهترین مدل برای تحقیقات بعدی در مورد حفره‌های لایه برشی پیشنهاد می‌شود.

همان‌طور که از بررسی نتایج تحقیق رولوی مشخص است، هنوز در مورد اثرات هندسه حفره روی رفتارهای لایه برشی توافقی حاصل نشده است. لذا، بعد از انتخاب بهترین مدل شکل هندسه را به شکل واقعی نزدیک کرده و نتایج حاصل به عنوان دست‌آورд جدید معرفی خواهد شد. همچنین، برای اعتبارسنجی حل، از داده‌های تجربی گروبر و دوستانش [۷, ۸] استفاده خواهد شد.

## مدل‌سازی مسئله معادلات حاکم

از آنجا که جریان فرا صوت است، برای محاسبه فشار و دمای دینامیکی سیال ورودی از معادلات زیر استفاده می‌شود.

1. Large Eddy Simulation

2. Reynolds averaged navier stokes equations

محاسبه دمای دینامیکی جریان:

$$T_t = T \left( 1 + \frac{\gamma-1}{2} M^2 \right) \quad (1)$$

محاسبه فشار دینامیکی جریان:

$$p_t = p \left( 1 + \frac{\gamma-1}{2} M^2 \right)^{\gamma/(\gamma-1)} \quad (2)$$

محاسبه سرعت جریان ورودی:

$$M \equiv \frac{V}{a} \quad (3)$$

که در آن:

$$a = \sqrt{\gamma g_c R T} \quad (4)$$

معادلات اساسی جریان نیز برای مسئله به طور دوبعدی حل می‌شود:

معادله بقای جرم:

$$\frac{\partial \rho}{\partial t} + \nabla \cdot (\rho \vec{v}) = 0 \quad (5)$$

معادلات بقای تکانه:

$$\frac{\partial(\rho u)}{\partial t} + \nabla \cdot (\rho \vec{v} u) = -\frac{\partial P}{\partial x} \quad (6)$$

$$\frac{\partial(\rho v)}{\partial t} + \nabla \cdot (\rho \vec{v} v) = -\frac{\partial P}{\partial y} \quad (7)$$

معادله بقای انرژی:

$$\frac{\partial(\rho e_0)}{\partial t} + \nabla \cdot ((\rho e_0 + P) \vec{v}) = -\rho g w \quad (8)$$

که در آن  $e_0$  میانگین انرژی جنبشی ذره است و به صورت زیر نمایش داده می‌شود:

$$e_0 = e + V^2/2 \quad (9)$$

## مدل‌های اغتشاشی

با توجه به مسئله جریان لایه برشی حفره، چهار مدل اغتشاشی زیر به کار گرفته شد تا مدل بهینه‌ای برای این مسئله تعیین شود.

### مدل اسپالارت-آلماراس

اسپالارت آلماراس<sup>1</sup> مدلی یک معادله‌ای است که یک معادله انتقال، مدل‌سازی شده را برای انرژی جنبشی اغتشاشی حل می‌کند. مدل اسپالارت آلماراس، به طور خاص، برای کاربردهای هواپما شامل جریان‌های محدود به دیوار طراحی شده است و نشان داده شده است که نتایج خوبی برای لایه‌های مرزی در معرض گرادیان‌های فشار معکوس می‌دهد. این مدل در کاربردهای مربوط به توربوماشین‌ها نیز در حال استفاده است.

### RNG k - ε مدل

این مدل در شکل ظاهری خود بسیار شبیه مدل k-ε استاندارد است. در واقع، این مدل همان مدل استاندارد با عبارت اضافی در معادله ε است که ضرایب متفاوتی نسبت به حالت استاندارد خود دارد.

معادلات کلی این مدل به صورت زیر است:

$$\rho \frac{\partial k}{\partial t} + \rho u_j k_j = \left[ \mu + \frac{\mu_t}{\sigma_k} k_j \right]_j + G + B - \rho \epsilon \quad (10)$$

1. Spalart-Almaras

$$\rho \frac{\partial \varepsilon}{\partial t} + \rho u_j k_j = \left[ \mu + \frac{\mu_t}{\sigma_\varepsilon} \varepsilon_j \right]_j + C_1 \frac{\varepsilon}{k} G + C_1 (1 - C_3) \frac{\varepsilon}{k} B - C_2 \rho \frac{\varepsilon^2}{k} - \frac{C_\mu \eta^3 [1 - \eta/\eta_0]}{1 + \beta \eta^3} \frac{\varepsilon^2}{k} \quad (11)$$

که در آن:

$$C\eta = S \frac{k}{\varepsilon} \quad (12)$$

$$S = \sqrt{2S_{ij}S_{ij}} = \frac{1}{2}(u_{ij} + u_{ji}) \quad (13)$$

### Realizable- k-ε مدل

این مدل در اعداد رینولدز بالا استفاده می‌شود و در جریان‌های همراه با جدایش نتایج بهتری نسبت به مدل استاندارد خود دارد که معادله کلی آن به صورت زیر است.

$$\frac{\partial k}{\partial t} + \rho u_j k_j = \left[ \mu + \frac{\mu_t}{\sigma_k} k_j \right]_j + G + B - \rho \varepsilon \quad (14)$$

$$\rho \frac{\partial \varepsilon}{\partial t} + \rho u_j \varepsilon_j = \left[ \mu + \frac{\mu_t}{\sigma_\varepsilon} \varepsilon_j \right]_j + C_1 \frac{\varepsilon}{k} G + C_1 (1 - C_3) \frac{\varepsilon}{k} B - C_2 \rho \frac{\varepsilon^2}{k} \frac{\varepsilon^2}{k} \quad (15)$$

### SST- k- ω مدل

این مدل از آمیخته شدن دو مدل قدرتمند  $k-\omega$  و  $k-\varepsilon$  نتیجه شده است. یعنی، این مدل به طور همزمان توانایی بالای مدل  $k-\omega$  در نواحی با عدد رینولدز پایین و توانایی مدل  $k-\varepsilon$  در نواحی با عدد رینولدز بالا را دارد. در واقع، این مدل در نزدیک دیواره و نواحی دور از دیواره به خوبی عمل می‌کند. این خصوصیت باعث شده است تا این مدل در دسته وسیعی از جریانات به طور دقیق عمل کند. معادلات کلی این مدل به صورت زیر است.

$$\frac{\partial \rho K}{\partial t} + \frac{\partial}{\partial x_j} (\rho \bar{u}_j K) = P_K - D_K + \frac{\partial}{\partial x_j} \left[ \Gamma_K \frac{\partial K}{\partial x_j} \right] \quad (16)$$

$$\frac{\partial \rho \omega}{\partial t} + \frac{\partial}{\partial x_j} (\rho \bar{u}_j \omega) = \frac{\gamma}{v_t} P_K - \beta \rho \omega^2 + \frac{\partial}{\partial x_j} \left[ \Gamma_\omega \frac{\partial \omega}{\partial x_j} \right] + (1 - F_1) 2 \rho \sigma_{\omega^2} \frac{1}{\omega} \frac{\partial K}{\partial x_j} \frac{\partial \omega}{\partial x_j} \quad (17)$$

که در آن:

$$P_K = \min \left( \mu_t S^2, 10 D_k \right) \quad (18)$$

$$D_k = \beta^* \rho \omega K \quad (19)$$

در جریان فرا صوت:

$$F_1 = \tanh(\arg_1^4) \quad (20)$$

$$\arg = \min \left[ \max \left[ \frac{\sqrt{K}}{\beta^* \omega y}, \frac{500v}{\omega y^2} \right], \frac{4\rho \sigma_{\omega^2} K}{CD_{k\omega} y^2} \right] \quad (21)$$

$$CD_{k\omega} = \max \left[ 2\rho \sigma_{\omega^2} \frac{1}{\omega} \frac{\partial K}{\partial x_j} \frac{\partial \omega}{\partial x_j}, 1, e^{-10} \right] \quad (22)$$

$$\mu = \min \left[ \frac{\rho K}{\omega}, \frac{a_1 \rho K}{SF_2} \right] \quad (23)$$

که در آن  $a_1 = 0.31$  و  $F_2 = 0.31$  به صورت زیر محاسبه می‌شود:

$$F_2 = \tanh(\arg_2^2) \quad (24)$$

$$\arg_2 = \max \left[ \frac{2\sqrt{K}}{\beta^* \omega y}, \frac{500v}{\omega y^2} \right] \quad (25)$$

ضرایب مورد استفاده در جریان فراصوت نیز از مدل استاندارد  $k-\omega$  و  $k-\varepsilon$  گرفته شده است که این ضرایب در زیر آورده شده‌اند:

$$\sigma_{K1} = 1.176, \sigma_{\omega 1} = 2.0, k = 0.41, \gamma_1 = 0.5532, \beta_1 = 0.075, \beta^* = 0.09, C_1 = 10$$

$$\sigma_{k2} = 1.0, \sigma_{\omega 2} = 1.168, k = 0.41, \gamma_2 = 0.4403, \beta_2 = 0.0828, \beta^* = 0.09$$

## مدل‌سازی مسئله

همان‌طور که گفته شد، در این تحقیق، دو موضوع بررسی شده است:

### الف) بررسی مدل‌های اغتشاشی گفته شده در بخش قبل و یافتن مدل بهینه از نظر دقیقت و سرعت

برای یافتن مدل بهینه برای شبیه‌سازی جریان لایه برشی حفره، معیاری نیاز داریم که نتایج مدل‌ها را با ان مقایسه کنیم. لذا، شرایط مسئله دقیقاً منطبق با آزمایش گروبر [۶،۵] درنظر گرفته شده است. یعنی، نسبت طول حفره به عمق آن ۳ و عمق حفره  $8/9$  میلی‌متر درنظر گرفته شد. جریان آزاد فراصوت یک جریان بدون حرارت با عدد ماخ ۳ و فشار و دمای کلی به ترتیب  $300\text{ k}$  و  $690\text{ kpa}$  است. در این مسئله، شرط عدم لغزش و شرایط آدیاباتیک اعمال شده برای همه دیواره‌ها و شرایط گرادیان صفر در مرز خروجی جریان اعمال می‌شود. برای مرز ورودی جریان فراصوت فقط شرایط مرزی فیزیکی اعمال شده است. شکل ۴ طرح‌واره هندسه درنظر گرفته شده توسط گروبر را نشان می‌دهد.

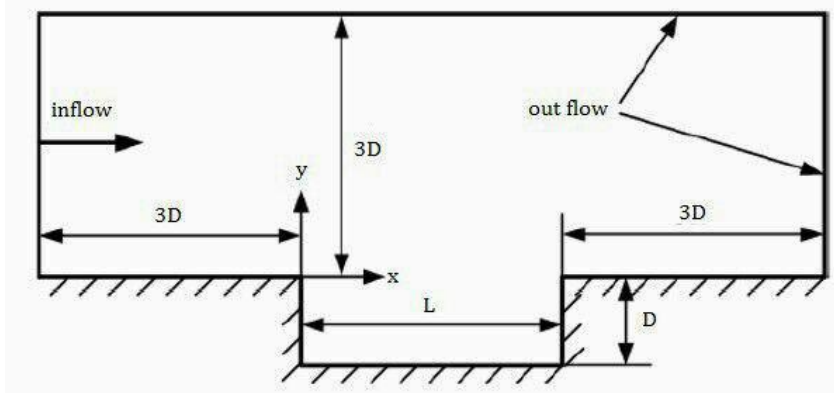


Figure 4- A schematic of the geometry considered by Gruber

شکل ۴- طرح‌واره‌ای از هندسه درنظر گرفته شده توسط گروبر

همان‌طور که گفته شد، مدل فیزیکی و شرایط مرزی و اولیه دقیقاً همان فرضیات آزمایش گروبر درنظر گرفته شد. شکل ۵ مدل فیزیکی مسئله را نشان می‌دهد.

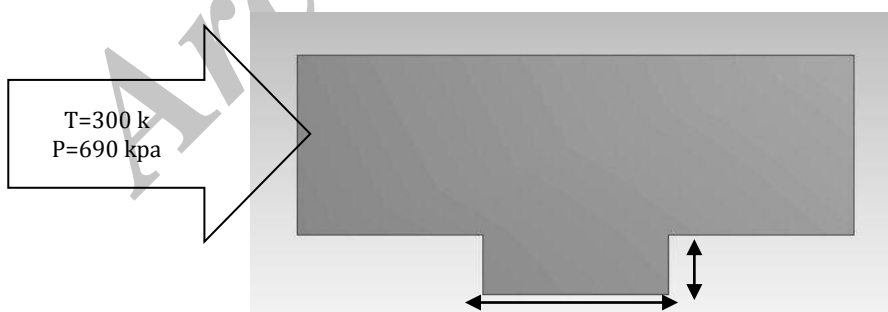


Figure 5- The physical model of the problem

شکل ۵- طرح‌واره‌ای از مدل فیزیکی مسئله

### ب) بررسی تاثیر شکل هندسی حفره روی کانتور دما و پایداری شعله

همان‌طور که گفته شد، پایداری شعله در اسکرم جت وابسته به عملکرد بهینه حفره‌هاست. لذا، دو زاویه دیگر برای دیواره حفره درنظر گرفته و با اعمال همان شرایط مرزی و اولیه اثر شکل هندسه حفره بر نحوه توزیع دما و سرعت بررسی می‌شود.

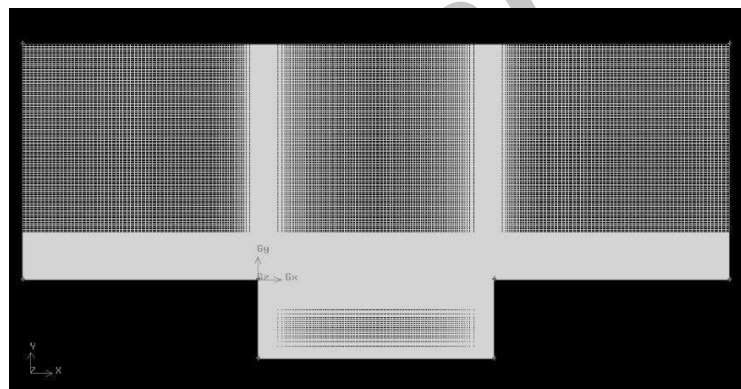
شکل ۶ هندسه این دو حفره را نشان می‌دهد که برای دیواره سمت راست حفره دو زاویه  $30^\circ$  و  $60^\circ$  درجه نسبت به جهت مثبت محور X درنظر گرفته شده است.



شکل ۶- طرحواره‌ای از مدل فیزیکی حفره با زاویه‌های مختلف

### شبکه‌بندی هندسه

اگر شبکه‌بندی مسئله درست انجام نشود، حجم بالایی از شبکه ایجاد خواهد شد که حل را طولانی خواهد کرد. همچنین، واضح است که داشتن تعداد بالای شبکه دلیل بر حل بهتر معادلات نیست. لذا، با تغییر شبکه‌بندی مسئله، به تعداد هدفمند از شبکه می‌توان رسید. در این هندسه، شبکه به صورت چهارضلعی کاملاً سازمان یافته اعمال شده است. کیفیت شبکه‌ها بسیار بالا بوده و مقدار کیفیت شبکه‌بندی<sup>۱</sup> نزدیک یک است. در شکل ۷ نمونه‌ای از شبکه‌بندی آورده شده است.



شکل ۷- شبکه بندی مربوط به مدل فیزیکی حفره با زاویه  $90^\circ$  درجه

### تحلیل نتایج

#### اعتبارسنجی

برای اعتبارسنجی و انتخاب مدل بهینه، فشار استاتیکی روی دیواره در تمام مدل‌ها رسم شد تا با داده‌های تجربی گروبر مقایسه شود. شکل ۸ مقادیر تجربی گروبر و منحنی عبور داده شده از این مقادیر را نشان می‌دهد. با انجام محاسبات، نمودار فشار بی بعد بر روی هر دیواره قابل استخراج است. اما، همان‌طور که می‌بینیم، در نمودار حاصل شده از آزمایش‌های گروبر فشار بی بعد استاتیکی برای این سه دیوار حفره، در کنار هم، رسم شده است. لذا، پس از محاسبه فشار هر دیواره، مقادیر به دست آمده برای سه دیواره در کنار هم رسم می‌شود. در شکل ۹، حل عددی توسط مدل‌های مختلف در کنار نتایج تجربی آمده است.

1. Orthogonal Quality (OQ)

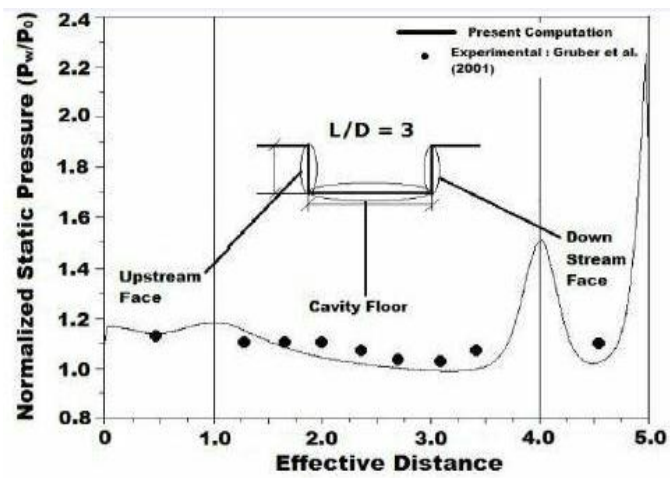


Figure 8- No-dimensional pressure diagram of the dimensionless length of the result of the experimental[5] results of Gruber and friends

شکل ۸- نمودار فشار بی بعد به طول بی بعد حاصل از نتایج تجربی گروبر و دوستان [۵]

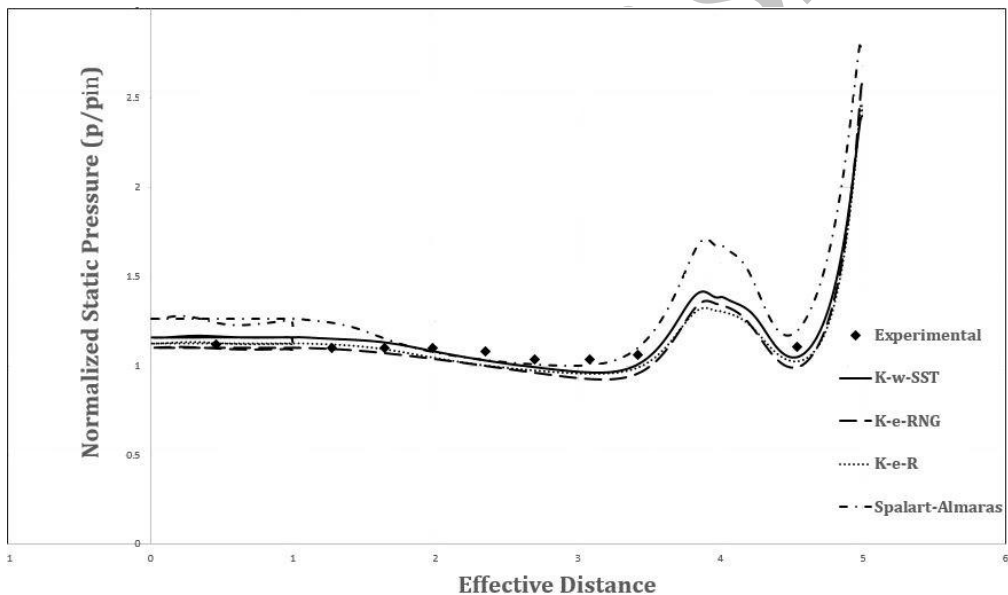


Figure 9- The non-dimensional pressure diagram for the non-dimensional length is described for turbulent models and comparison of them with experimental results

شکل ۹- نمودار فشار بی بعد به طول بی بعد برای مدل‌های اختشاشی گفته شده و مقایسه آن‌ها با نتایج تجربی

از مقایسه این نمودارها با مقادیر تجربی ارائه شده توسط گروبر، مشاهده می‌شود که مقادیر محاسبه شده در همه مدل‌ها به نتایج گروبر نزدیک است، که این خود نشان‌دهنده اعتبار شبکه‌بندی انجام شده است. اما، برای یافتن مدل بهینه، با دقت در نتایج، واضح است که مدل اسپالارت-آلماراس در دیوار عمودی سمت چپ دارای نوسان و خطاست و نیز مدل‌های k-ε RNG و k-ε Realizable- k-ε منطبق است. شکل ۱۰ تصویر عکس‌برداری شده ساختار جریان توسط گروبر و محاسبه شده توسط مدل SST-k-ω را نشان می‌دهد. شکل ۱۱ داده‌های حاصل از حل CFD با مدل SST-K- $\omega$  را در مقایسه با مقادیر تجربی گروبر نشان می‌دهد. نتایج این شکل دقت بالای مدل به کاررفته را نشان می‌دهد، که تنها در محل اتصال دیوار سمت چپ به دیوار زیرین خطای جزئی دارد.

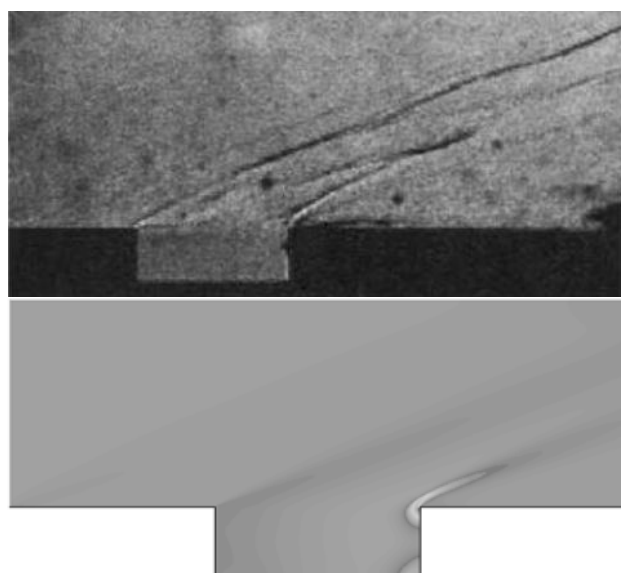


Figure 10- The actual graph image (figure above) and the calculated graph with the SST-k-w (bottom figure)

شکل ۱۰- ساختار جریان در تصویر واقعی (شکل بالا) و محاسبه شده با مدل SST-k- $\omega$  (شکل پایین)

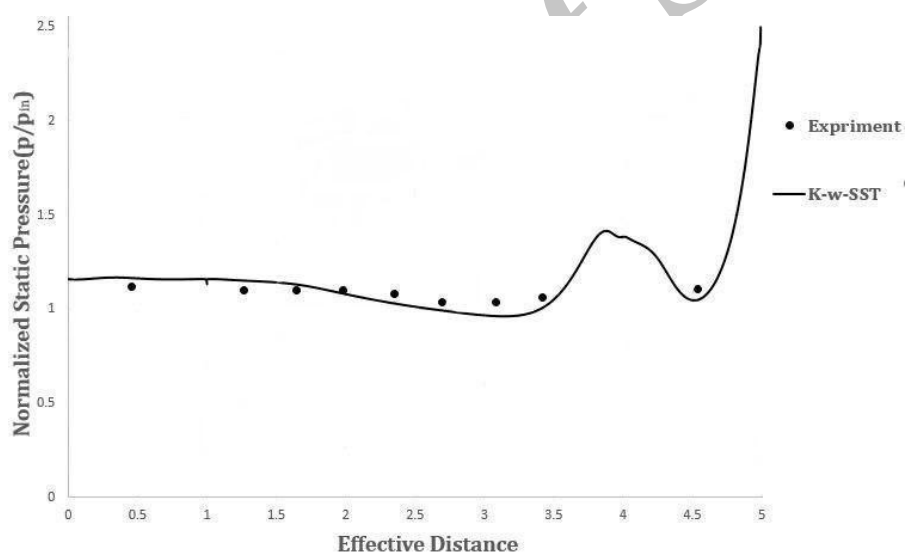


Figure 11- The non-dimensional pressure diagram for the non-dimensional length is described for turbulent

شکل ۱۱- مقایسه مقادیر تعبیری با نتایج حل عددی

## نتایج و بحث

### تحلیل عملکرد حفره با زاویه ۹۰ درجه

پس از بررسی اعتبار شبکه‌بندی و تایید آن، ملاحظه شد که مدل SST-k- $\omega$  بهترین مدل برای حل این مسئله است. بنابراین، مسئله با استفاده از مدل اغتشاشی SST-k- $\omega$  حل شد. شکل ۱۲ کانتور فشار استاتیکی را برای عدد ماخ ۳ نشان می‌دهد. همان‌طور که در شکل ۱۲ مشاهده می‌شود، درون حفره ناحیه کم‌فشار ایجاد شده که منجر به ایجاد جریان اغتشاشی درون حفره شده و همین جریان چرخشی باعث احتراق پایدار خواهد شد. نکته دیگری که با ملاحظه این شکل نتیجه می‌شود افزایش فشار در گوشه‌های حفره است.

شکل ۱۳ کانتور سرعت را برای عدد ماخ ۳ نشان می‌دهد. همان‌طور که انتظار می‌رفت، سرعت در حفره گردابهای بوده و افت جزئی در مسیر ایجاد می‌کند.

شکل ۱۴ کانتور دما را نشان می‌دهد. این شکل به‌وضوح تأثیر عملکرد حفره را در پایداری احتراق این نوع موتورها نشان می‌دهد؛ به این صورت که در اثر ایجاد جریان برشی و ورود هوا به حفره و ایجاد گردابهای دما در آن، دما بهشت بالا می‌رود و یک منبع گرمایی همیشه فعال برای ادامه روند احتراق پایدار را پدید می‌آورد.



Figure 12- Static pressure contour for Mach number 3

شکل ۱۲- کانتور فشار استاتیکی برای عدد ماخ ۳



Figure 13- Non-dimensional velocity contour for Mach 3

شکل ۱۳- کانتور سرعت برای عدد ماخ ۳

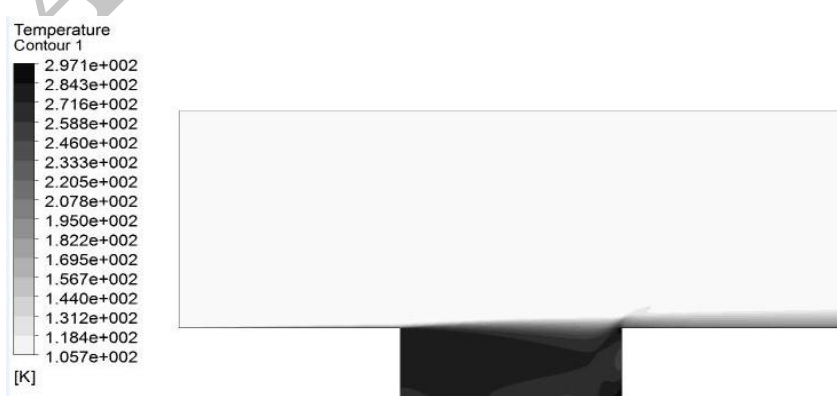


Figure 14- Temperature contour

شکل ۱۴- کانتور دما

## تحلیل عملکرد حفره با زاویه ۳۰ و ۶۰ درجه

در بخش قبل عملکرد حفره با زاویه ۹۰ درجه بررسی شد. در این بخش، برای بررسی فرضیه تاثیر تغییر زاویه دیواره حفره در عملکرد آن، دو زاویه ۳۰ و ۶۰ درجه برای دیوار سمت راست حفره در نظر گرفته شد. شکل ۱۵ کانتورهای سرعت را نشان می‌دهد. برای درک بهتر تاثیر زاویه حفره، کانتورهای زاویه‌های مختلف در کنار هم قرار داده شده است. ذکر این نکته لازم است که تمام نتایج با مدل اختشاشی بهینه (SST-k- $\omega$ ) به دست آمده در این تحقیق ارائه شده است.

در شکل ۱۵، ملاحظه می‌شود که هر چه زاویه به سمت ۹۰ درجه میل می‌کند، تاثیر حفره بر سرعت ورودی کمتر شده و جریان عبوری کمتر دچار افت سرعت می‌شود. توضیح این نکته لازم است که در محل حفره‌ها سرعت از اهمیت کمتری برخوردار است، زیرا در این محل‌ها، با ایجاد احتراق پایدار، برای ورودی نازل فشار بالا ایجاد می‌شود.



Figure 15- Comparison of speed contour for three angles (respectively from above) 30, 60 and 90 degrees

شکل ۱۵- مقایسه کانتور سرعت برای سه زاویه (به ترتیب از بالا) ۳۰، ۶۰ و ۹۰ درجه

شکل ۱۶ کانتور دما را برای سه زاویه نشان می‌دهد. حفره‌ها با جذب بخشی از حرارت چرخه قبلی به احتراق کامل و پایدار چرخه بعد کمک می‌کنند. مقدار جذب حفره به‌گونه‌ای باید باشد که دما در حفره‌ها بالا رود، به طوری که چرخه بعدی از این حرارت استفاده کرده و به طور کامل بسوزد. با دقت در کانتور دما، مشخص است که در حفره با زاویه تند دما به‌شدت بالا می‌رود. مشاهده می‌شود که دما در حفره با زاویه ۳۰ درجه، به دلیل شدت جذب بالاتر، به‌شدت بالا رفته است و این زاویه تاثیر مثبتی برای احتراقی پایدار خواهد داشت.

برای مقایسه دقیق‌تر دما در حفره با زوایای مختلف، دما روی دیواره حفره در شکل ۱۷ رسم شده است. با بررسی میانگین دما روی سه زاویه مختلف، مشاهده می‌شود که دمای حفره در زاویه ۳۰ درجه بالاتر از دو زاویه دیگر است.

با توجه به اینکه مساحت حفره‌ها در تمام زوایا ثابت است، به عبارتی دبی سیال ثابت است، از تحلیل‌های بالا می‌توان نتیجه گرفت، برای پایداری احتراق، زاویه ۳۰ درجه مطلوب‌تر است. زیرا، نفوذ بیشتر سیال باعث افزایش دما شده است که این همان هدف ایجاد حفره‌ها در اسکرم جت است.

ذکر این نکته لازم است که شرایط جنس و تحمل مواد به کاررفته در این نوع موتورها برای طراحی و انتخاب زوایا اهمیت دارد که باید مورد بررسی بیشتر قرار گیرد.

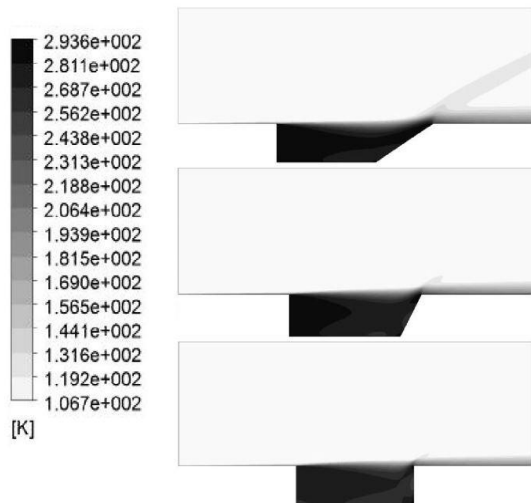


Figure 16- Comparison of temperature contours for three angles (respectively from above) 30, 60 and 90 degrees  
شکل ۱۶- مقایسه کانتور دما برای سه زاویه (به ترتیب از بالا) ۳۰، ۶۰ و ۹۰ درجه

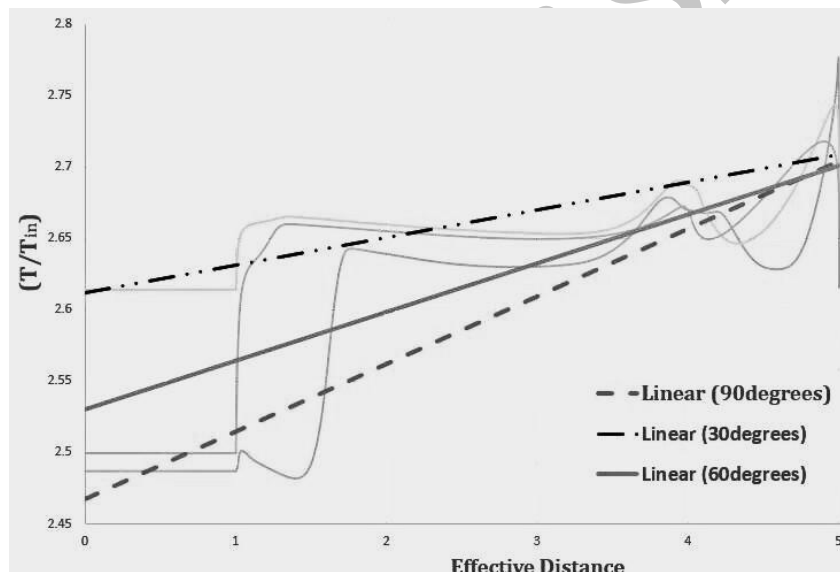


Figure 17- Comparing the temperature gradient on the cavity wall for three angles of 30, 60 and 90 degrees  
شکل ۱۷- مقایسه شیب دما روی دیواره حفره برای سه زاویه ۳۰، ۶۰ و ۹۰ درجه

### نتیجه‌گیری

در این تحقیق، ویژگی‌های لایه برشی حفره، که در ک آن‌ها برای ایجاد احتراق پایدار برای عملکرد بهینه اسکرمجت‌ها حائز اهمیت زیادی است، بررسی شد. مدل‌های مختلف اغتشاشی مورد بررسی قرار گرفت تا دقیق‌ترین مدل تعیین شود. با توجه به ماهیت دوبعدی مسئله، مدل SST-k- $\omega$ ، به عنوان مدل بهینه، انتخاب شد که این دستاورده مهمی برای مدل‌سازی‌های آینده در مورد لایه برشی حفره است، زیرا دقیق و سرعت محاسبه بالای این مدل باعث می‌شود که از مدل LES در این نوع مسائل کارآمدتر باشد.

در این تحقیق، همچنین سه زاویه مختلف برای دیوار عمودی پشت درنظر گرفته شد که نتایج حاصل حاکی از آن است که دما در حفره‌ها با زاویه تند بهشدت بالا می‌رود که این نیز عامل مهمی در طراحی حفره خواهد بود و ممکن است محدودیت نقطه ذوب مواد به کاررفته انتخاب زاویه را تحت تاثیر قرار دهد. همچنین، سرعت در زاویه‌های کوچک‌تر افت بیشتری دارد که باعث افزایش فشار در آن نواحی خواهد شد و این موضوع مطلوب است. زیرا، افزایش فشار نشان از افزایش انرژی و آنتاپی دارد و به طور کلی در مرحله احتراق اسکرم جت، ایجاد فشار بیشتر برای ورودی نازل خروجی مطلوب است. البته، باید درنظر داشت، در هر مسئله، پارامترهای مختلفی، مثل زاویه کف حفره، زاویه گوشها و غیره، وجود دارد که برای رسیدن به طراحی بهینه، باید همه آن‌ها را لحاظ کرد که می‌تواند موضوع تحقیقات بعدی باشد.

## منابع

1. H. Wang, P. Li, M. Sun and J. Wei, "Entrainment characteristics of cavity shear layers in supersonic flows," *Acta Astronautica*, 137, 2017, pp.214-221.
2. P. E. Dimotakis "Two-dimensional shear-layer entrainment," *AIAA Journal*, 11, No. 24 , 1986, pp.1791-1796.
3. P. S. Lowery, W. C. Reynolds and N. N. Mansour "Passive scalar entrainment and mixing in a forced, spatially-developing mixing layer," *AIAA Paper 87-0132*, 1987.
4. C. W. Rowley, T. Colonius and A. J. Basu, "On self-sustained oscillations in two-dimensional compressible flow over rectangular cavities," *Journal of Fluid Mechanics*, 455, 2002, pp. 315-346.
5. S. J. Beresh, J. L. Wagner and K. M. Casper, "Compressibility effects in the shear layer over a rectangular cavity [R]," *AIAA Paper 2016-3313*, 2016.
6. K. M. Kim, S. W. Baek and C. Y. Han, Numerical study on supersonic combustion with cavity-based fuel injection [J]," *International Journal of Heat and Mass Transfer*, 47, 2004, pp. 271-286.
7. T. Mathur, M. Gruber, K. Jackson, J. Donbar, W. Donaldson, T. Jackson, F. Billig, "Supersonic combustion experiments with a cavity-based fuel injector," *Journal of Propulsion and Power*, 17, No. 6, 2001, pp. 1305-1312.
8. M. R. Gruber, R. A. Baurle, T. Mathur, K. Y. Hsu, "Fundamental studies of cavity-based flame holder concepts for supersonic combustors," *Journal of Propulsion and Power*, 17, No. 1, 2001, pp. 146-153.

## English Abstract

# Studying wall shear layer in ultrasonic cavity flow using numerical simulation

Ali Mirmohammadi<sup>1\*</sup> and Saeed Rostaiy<sup>2</sup>

1- Assistant Professor, Department of mechanical engineering, Shahid Rajaee Teacher Training University, Tehran, Iran,  
a.mirmohammadi@srttu.edu

2- Master, Department of mechanical engineer, Shahid Rajaee Teacher Training University, Tehran, Iran,  
rostaiy.saeed@gmail.com

\*Corresponding author

(Received: 2017.09.17, Received in revised form: 2017.12.18, Accepted: 2018.03.12)

Ultrasonic Ram-Jet and Scram-Jet are high technology engines in aerospace industries. Scram-Jet engines can achieve higher velocity than the common Ram-Jet engines, because the combustion in these engines occur in ultrasonic velocity. Combustion in ultrasonic velocity needs stability. Since cavities are very important in the stability of ultrasonic reacting flows, different parameters affecting the wall shear layer in ultrasonic cavity flow is investigated in this paper using numerical simulations with various turbulence modeling approaches. Firstly, the best turbulence model in accuracy and speed is introduced for wall shear layer solution in ultrasonic cavity flow. Then, the solution is used for various cavity wall angles and the results are presented, that show the SST-k- $\omega$  turbulence model is the best model in accuracy and speed for the problem under investigation. In addition, the results of different angles for back normal wall shows that in a cavity with steep angle, the temperature increases sharply. Therefore, the temperature is a very important parameter in indicating the value of the angle and the limitation of the melting point may affect the angle selection.

**Keywords:** Ram-Jet, Scram-Jet, Combustion Stability, SST-k- $\omega$  model, Cavity shear layer